

Interações da radiação com a matéria (parte 1)

Nesta aula iremos começar a colocar juntas todas as partes que estudamos até agora, com ênfase nos processos de Absorção & Emissão

Primeiro uma breve revisão dos resultados principais:

1) • Teoria de perturbações (1^o ordem): prob. de transição $P_{i \rightarrow f} = |C_f^{(1)}|^2$

$$C_m^{(0)}(0) = \delta_{ni} \rightarrow C_f^{(1)} = \frac{1}{i\hbar} \sum_n C_n^{(0)} e^{i\omega_{fn}t} V_{fn} = \frac{1}{i\hbar} e^{i\omega_{fi}t} \langle f | \hat{V}(t) | i \rangle$$

$$C_f^{(1)} \Rightarrow C_f(t) = -\frac{i}{\hbar} \int_0^t e^{i\omega_{fi}t'} V_{fi} dt' ; \text{ p/ perturbações } \hat{V}(t) = V(r) \cdot \cos(\omega t)$$

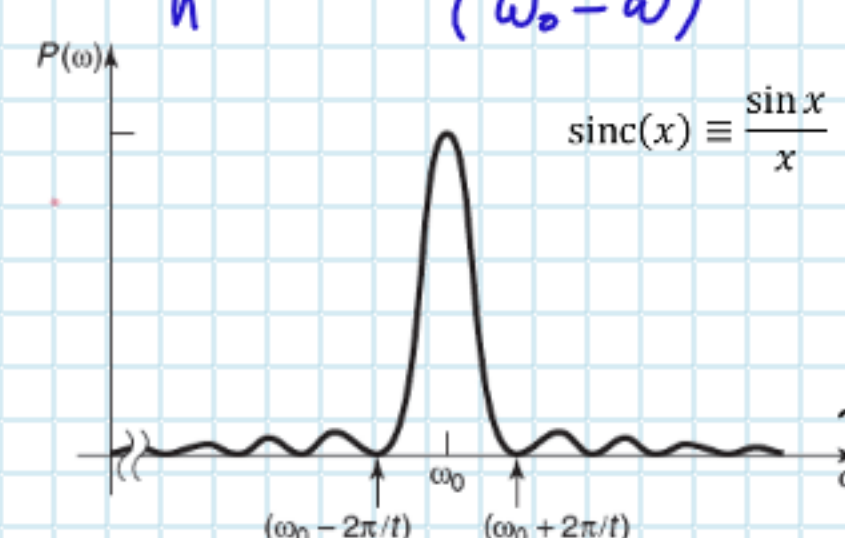
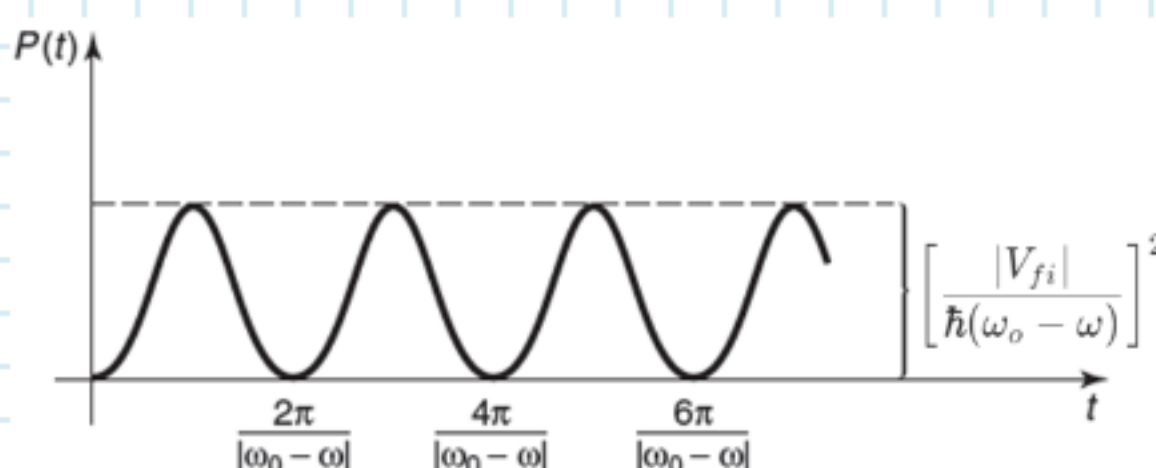
$$\hookrightarrow C_f(t) = \frac{1}{i\hbar} V_{fi} \int_0^t \cos(\omega t') e^{i\omega_{fi}t'} dt' = -\frac{i}{2\hbar} V_{fi} \left[e^{i(\omega_0+\omega)t'} + e^{i(\omega_0-\omega)t'} \right] dt'$$

$$\hookrightarrow C_f(t) = -\frac{V_{fi}}{2\hbar} \left[\underbrace{\frac{e^{i(\omega_0+\omega)t}}{(\omega_0+\omega)} - \frac{1}{(\omega_0+\omega)}}_{\text{Emissões}} + \underbrace{\frac{e^{i(\omega_0-\omega)t}}{(\omega_0-\omega)} - \frac{1}{(\omega_0-\omega)}}_{\text{Absorções}} \right]$$

$$\Rightarrow C_f(t) = -\frac{i}{\hbar} V_{fi} \cdot \frac{\sin[(\omega_0-\omega)t/2]}{(\omega_0-\omega)} \cdot e^{i(\omega_0-\omega)t/2}$$

$\omega \approx \omega_0$
 $(\omega_0+\omega) \gg |\omega_0-\omega|$

$$P_{if}(t) = |C_f(t)|^2 = (C_f^*(t) \cdot C_f(t)) = \frac{|V_{fi}|^2}{\hbar^2} \cdot \frac{\sin^2[(\omega_0-\omega)t/2]}{(\omega_0-\omega)^2}$$



Note que (Verifique!!)

$P_{if}(t) = P_{if}$

i.e.: prob. de Absorção é igual a Emissões Estimulada!

⇒ Transições p/ "Continuo"
taxa de transição
 $W_{if} = \frac{2\pi}{\hbar} |V_{fi}|^2 g(E_{fi})$

ou $W_{if} = \frac{2\pi}{\hbar} |V_{fi}|^2 \delta(E_{fi} - \hbar\omega)$

Regra de Ouro de Fermi

2) • Equações de taxa e Coef. de Einstein:

$$\frac{N_1}{N_2} = \frac{e^{-E_1/k_B T}}{e^{-E_2/k_B T}} = e^{\frac{(E_2-E_1)/k_B T}{\hbar\omega}}$$

$$\begin{aligned} \dot{N}_1 &= A_{fi} N_2 + u(\omega) B_{fi} N_2 - u(\omega) B_{if} N_1 \\ \dot{N}_2 &= u(\omega) B_{if} N_1 - u(\omega) B_{fi} N_2 - A_{fi} N_2 \end{aligned}$$

$$\hookrightarrow u(\omega)(B_{if} N_1 - B_{fi} N_2) = A_{fi} N_2$$

$$\dot{N}_2 = 0 \Rightarrow u(\omega) = \frac{A_{fi}}{(N_1/N_2) B_{if} - B_{fi}} = \frac{A_{fi}}{e^{\hbar\omega/k_B T} \cdot B_{if} - B_{fi}}$$

No equilíbrio
 $\dot{N}_1 = \dot{N}_2 = 0 ; \frac{N_1}{N_2} = e^{\hbar\omega/k_B T}$
 (dinâmico) (térmico)

$$u(\omega) = \frac{1}{\pi^2 c^3} \cdot \frac{\omega^3}{e^{\hbar\omega/k_B T} - 1}$$

p/ ser consistente com a fórmula de Planck
p/ a radiação de corpo negro ...

Resulta que

unidades
S.I.

$$B_{if} = B_{fi} \quad (\text{como na teoria de perturbações})$$

$$A_{fi} = \frac{\omega^3}{\pi^2 c^3} \cdot B_{fi} \quad (\text{emissão espontânea})$$

⇒ Podemos agora relacionar
esses resultados ...

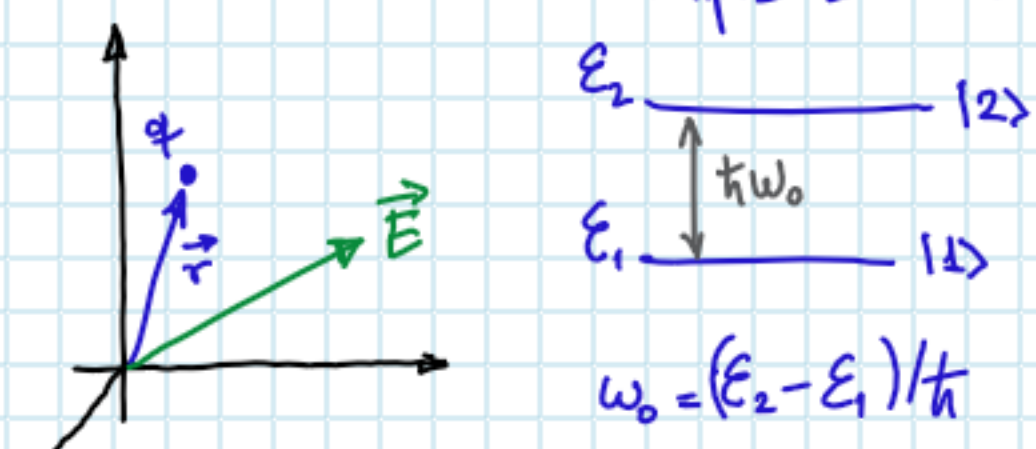
completando o cálculo da teoria
de perturbações até a taxa final de emissão
(ou absorção) e comparar as expressões
obtidas até agora ...

⇒

Interacções Átomo - Luz (dipolo elétrico)

• Taxa de transição: Átomo (elétron) de 2-níveis + Luz (campo elétrico)

$$\rightarrow \text{Luz} = \text{campos } \vec{E} \text{ e } \vec{B} \Rightarrow |\vec{B}| = \frac{|\vec{E}|}{c} \rightarrow \text{Interacção elétrica prevalece (se } \epsilon_0 \text{ permitida)}$$



$$\omega_0 = (\epsilon_2 - \epsilon_1)/\hbar$$

Interacção de dipolo elétrico

• operador dipolo

$$\vec{d} = q \vec{r}$$

$$\Rightarrow \vec{E}_{\text{dip}} = -\vec{d} \cdot \vec{E}$$

no visível 4000-7000 Å ($a_0 \sim 0,5 \text{ \AA}$)

$$\text{Luz: } \left\{ \begin{array}{l} \vec{E}(\vec{r}, t) = \vec{E}_0 \cdot e^{i(\vec{k} \cdot \vec{r} - \omega t)} \quad (\text{onda plana}) \\ \vec{B} = \frac{1}{c} \vec{k} \times \vec{E} \quad (\text{ondas transversais} \rightarrow \text{Vácuo}) \\ k = \frac{2\pi}{\lambda}, \quad \lambda = c ; k = \frac{\omega}{c} \rightarrow \vec{B} = \frac{1}{c} (\vec{k} \times \vec{E}) \end{array} \right.$$

$$\vec{E}(\vec{r}, t) = \vec{E}_0(\vec{r}) \cdot \cos(\omega t)$$

$$\rightarrow \text{No átomo: } \vec{E}(t) = E(t) \hat{n}$$

→ por conveniência tomaremos

$$E(t) = 2 E_0 \cos(\omega t)$$

Portanto, a interacção do átomo (elétron) com a luz (campo elétrico) é simplesmente

$$V(t) = -\vec{d} \cdot \vec{E} = -q \vec{r} \cdot \vec{E}(t) = -q \vec{r} \cdot \hat{n} E(t) \\ = -\vec{d} \cdot \hat{n} (2 E_0 \cos(\omega t))$$

$$\langle f | \vec{d} \cdot \hat{n} | i \rangle$$

$$\tilde{P}_{if} = \frac{4 E_0^2}{\hbar^2} |(\vec{d} \cdot \hat{n})_{if}|^2 \cdot \frac{\sin^2[(\omega_0 - \omega)t/2]}{(\omega_0 - \omega)^2}$$

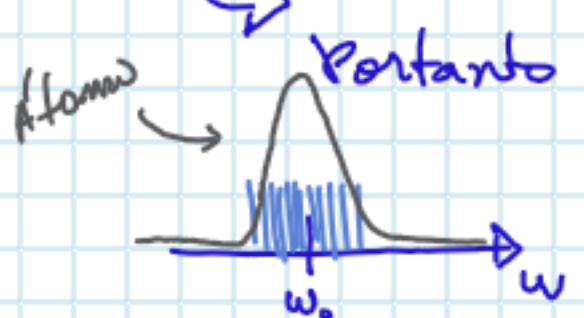
Para comparar com a taxa

obtida por Einstein, temos integrar (somar) no intervalo de frequência próximo à ressonância para todos os polarizações presentes...

→ Esta é a probabilidade de transição entre níveis discretos, não a taxa transição de luz (incoerente)

de Fermi (notamente)!

↳ Para considerar o caso descrito por Einstein (1917), consideraremos uma fonte térmica



Portanto com uma distribuição de frequências e polarizações contínuas.

⇒ Assim embora se transições entre níveis discretos, a fonte de excitação é uma distribuição contínua ... por fim, queremos que isso nos leva à Regra de ouro de Fermi (notamente)!

↳ O campo elétrico é uma superposição incoerente de ondas com diferentes frequências ω_k , diferentes amplitudes $E_0(\omega_k)$, e diferentes polarizações \hat{n}_{ω_k}

$$\tilde{P}_{if}^K = \frac{4 E_0^2(\omega_k)}{\hbar^2} |(\vec{d}_{if} \cdot \hat{n}_{\omega_k})|^2 \cdot \frac{\sin^2[\frac{1}{2}(\omega_0 - \omega_k)t]}{(\omega_0 - \omega_k)^2}$$

→ o modo K do campo EM

$$\vec{E}_k = 2 E_0(\omega_k) \cos(\omega_k t) \hat{n}_{\omega_k}$$

Queremos relacionar isso com as taxas de transição dN/dt , onde temos $U(w) \cdot B_{if}$

Para estabelecer a relação com a densidade de energia usamos o resultado do electromagnetismo...

A densidade de energia do campo é ... $U(w) = \frac{E_0}{2} E_0(w)^2$

$$\text{Assim } \tilde{P}_{if}(w) = \frac{2 U(w)}{\epsilon_0 \hbar^2} |(\vec{d}_{if} \cdot \hat{n}_w)|^2 \cdot \frac{\sin^2[\frac{1}{2}(\omega_0 - \omega)t]}{(\omega_0 - \omega)^2} \rightarrow \tilde{P}_{if}(t) = \frac{2 |\vec{d}_{if} \cdot \hat{n}|^2}{\hbar^2} \left\{ \begin{array}{l} U(w) \cdot \frac{\sin^2[\frac{1}{2}(\omega_0 - \omega)t]}{(\omega_0 - \omega)^2} \end{array} \right\}$$

→ $U(w)$ é bastante larga
então $\sin(x) = \frac{\sin x}{x}$

é centrada em ω_0

$$\tilde{P}_{if}(t) \approx \frac{2 |\vec{d}_{if} \cdot \hat{n}|^2}{\hbar^2} \cdot u(\omega_0) t \int_0^\infty \frac{\sin^2 x}{x} dx; \quad x = (\omega_0 - \omega)t/2$$

$$\text{Usando } \int_{-\infty}^0 \left(\frac{\sin x}{x} \right)^2 dx = \pi$$

temos

$$\tilde{P}_{if}(t) \approx \frac{\pi}{\epsilon_0 \hbar^2} |\vec{d}_{if} \cdot \hat{n}|^2 \cdot u(\omega_0) \cdot t$$

Interacções Átomo - Luz (dipolo elétrico)

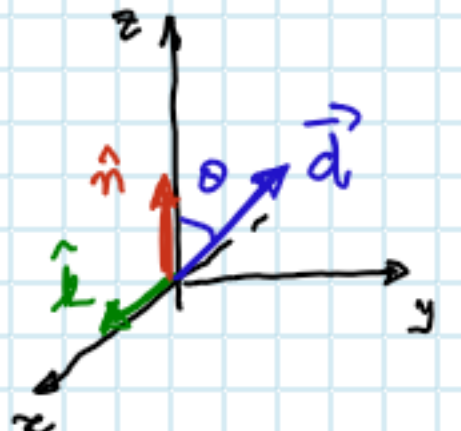
↳ Note que a probabilidade é linear com o tempo

$$P_{if}(t) = \frac{\pi}{\epsilon_0 h^2} |\vec{d}_{if} \cdot \hat{n}|^2 \cdot u(\omega) \cdot t \Rightarrow \text{e a taxa } \frac{dP}{dt} = W_{if} \text{ é constante}$$

$$W_{if} = \frac{\pi}{\epsilon_0 h^2} |\vec{d}_{if} \cdot \hat{n}|^2 u(\omega)$$

Esse resultado expressa a taxa para uma dada polarização \hat{n} .

Pl o caso geral de luz não polarizada, devemos fazer uma média de $|\vec{d} \cdot \hat{n}|^2$



$$\vec{d} \cdot \hat{n} = d \cos \theta \sim |\vec{d} \cdot \hat{n}| = \frac{1}{\text{medio}} \int_0^{\pi} |d|^2 \cos^2 \theta \cdot \sin \theta d\theta$$

$$= \frac{d^2}{4\pi} \left(-\frac{\cos^3 \theta}{3} \right) \Big|_0^{\pi} \cdot 2\pi = \frac{1}{3} |d_{if}|^2 = \frac{1}{3} \langle f | \vec{d} | i \rangle \langle i | \vec{d} | f \rangle$$

Finalmente

$$W_{if} = \frac{\pi}{3 \epsilon_0 h^2} \cdot |d_{if}|^2 \cdot u(\omega)$$

$$|d|^2 = |d_{if}|^2 = |d_{fi}|^2 = |q \langle f | \vec{r} | i \rangle|^2$$

$$= q^2 |\langle f | \vec{r} | i \rangle|^2$$

\rightarrow taxa de transição por átomo (eletrôn)

↳ Comparando Com a Regra de Duto

$$W_{if} = \frac{2\pi}{h} |\psi_{fi}|^2 g(E_{fi}) \sim \text{temos } g(E) = \frac{1}{6E_0 \hbar} u(\omega)$$

Deste modo, como

$$W_{if} = B_{if} u(\omega) \rightarrow$$

$$B = \frac{\pi}{3 \epsilon_0 h^2} |d|^2$$

$$\text{e } B_{if} = B_{fi} = B$$

$$A = \frac{\omega_0^3 \hbar}{\pi^2 c^3} B \Rightarrow$$

$$A = \frac{\omega_0^3 |d|^2}{3 \epsilon_0 h^2 c^3}$$

taxa de emissão espontânea

É interessante comparar a taxa de emissão espontânea com a taxa de emissão estimulada p/ radiação de corpo negro. Isto é a emissão térmica x emissão espontânea.

↳ Substituindo os números, observa-se que na região do visível a emissão espontânea domina, engt p/ freqüências menores que $\sim 10^{12} \text{ Hz}$ quem domina o tempo de vida do estado excitado é a emissão térmica (corpo negro) e os tempos de vida são bem maiores!

• Tempo de vida

$$12) \frac{N_2}{A} \quad \dot{N}_2 = -AN_2 \Rightarrow \int \frac{dN_2}{N_2} = -\int Adt \Rightarrow N_2(t) = N_2(0) \cdot e^{-At} \quad (c)$$

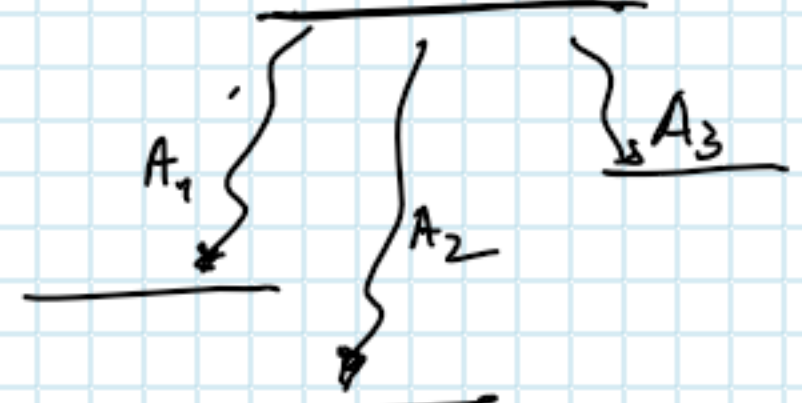
$$\tau = \frac{1}{A}$$

$-t/\tau \leftarrow$ tempo de vida

\Rightarrow Se houver Vários níveis p/ onde cair, com taxas A_1, A_2, \dots, A_N

$$\Rightarrow A = A_1 + A_2 + \dots + A_N$$

$$\Rightarrow \tau = \frac{1}{A_1 + A_2 + \dots}$$



• Regras de Seleção \Rightarrow As taxas de transição dependem de i.e. os elementos da matriz do operador $\langle f | \vec{r} | i \rangle$

↳ As chamadas regras de seleção são dadas pelo elementos da matriz da transição (interação) envolvida ...

\Rightarrow Considerando estados do Hidrogênio (por simplicidade)

teremos

$$\langle n', l', m' | \vec{r} | n, l, m \rangle$$

\rightarrow Se expresso em termos de funções de onda teremos integrais sobre os harmônicos esféricos ...

↳ Resumido:

$$\left. \begin{array}{l} \Delta m = (m' - m) \\ \Delta l = (l' - l) \\ \Delta n = (n' - n) \end{array} \right\}$$

$$\boxed{\Delta m = 0, \pm 1}$$

$$\boxed{\Delta l = \pm 1}$$

$$\nexists 4n$$

**Regras de Seleção
p/ trans. de dipolo elétrico**

Exemplo:

